

Progetto DPC-ReLUIS 2024-2026 WP 12



Task 12.2 Costruzioni in legno

Sub task 12.2.1 - Edifici

COMPORTAMENTO SISMICO DI STRUTTURE IN LEGNO A PANNELLI MASSICCI MULTI-PANNELLO (MP)

Vincenzo Rinaldi, Gloria Rosone, Martina Sciomenta, Massimo Fragiacomo Università degli Studi dell'Aquila Email: massimo.fragiacomo@univaq.it

PROGETIAZIONE IN DC3 E IN DC2+
La progettazione in classe di duttilità media avanzata (DC2+) si colloca tra la media duttilità
(DC2) e l'atta duttilità (DC3), adottando alcune semplificazioni rispetto a quest'ultima. Nelle
strutture in CLT progettate in DC3, la dissipazione di energia avviene principalmente nei
giunti verticali delle pareti multipannello; la progettazione in capacità è applicata sia
localmente (nelle connessioni e nelle pareti) sia globalmente (tra i piani), così da favorire
una plasticizzazione diffusa. I collegamenti a taglio e contro il sollevamento possono essere
considerati dissipativi se plasticizzano dopo i giunti verticali. Per garantire la gerarchia di
resistenza, l'Eurocodice 8 – Paret 1-2 (sezione legno) fornisce espressioni analitiche per
l'applicabilità della progettazione in capacità in DC3.

Gerarchia delle resistenze tra i dispositivi contro il sollevamento e giunti verticali:



Azione di progetto sui componenti non dissipativi $F_{Rd,nd} \ge \frac{\gamma_{Rd}}{k_{Ato}} \Omega_d F_{Ed,nd} + F_{Ed,G}$

formazione di meccanismi di piano soffice deve risultare soddisfatta la seguente

ura 1. Sistema strutturale in CLT con pareti multi-pannello

(2)

$$\Omega_d = \min(\Omega_{d,l}) = \left(\frac{\sum_{j=1}^{N_d} ||M_{B,B,rock,l}|}{\sum_{j=1}^{N_d} ||M_{B,B,l}|}\right)$$
Per garantire che la progettazione in capacità sia rispettata a livello globale ed e

equazione: $\Omega_d = \frac{\max(\Omega_{d,i})}{\min(\Omega_{d,i})} \le 1.25$

- La classe di duttilità media avanzata (DC2+) si basa su alcune semplificazioni rispetto alla classe in alta di duttilità che sono elencate di seguito.

 Non è richiesta la conformità delle equazioni (1), gli hold-down/tie-down sono progettati per il carico di trazione ottenuto dall'analisi sismica moltiplicato per il fattore 1,1.

 Non deve essere garantita l'eq. (2); il sistema anti-scorrimento è progettato con il taglio di progetto dovuto all'azione sismica moltiplicato per il fattore 1,3.

 Per la progetzazione di Componenti pon dissinativi (a; 03) il responto di soverassistenza
- Per la progettazione di componenti non dissipativi (eq. (3)) il rapporto di sovraresistenza $\Omega_{\rm d}$ viene assunto con valore costante pari a 1,1; non deve pertanto essere calcolato mediante l'equazione (4).
- La progettazione in capacità a livello globale non è applicata; non deve dunque essere soddisfatta l'equazione (5).

Le semplificazioni introdotte in DC2+ mirano a ridurre la complessità della progettazione. L'Incertezza sul comportamento delle pareti, viene compensata attribuendo un fattore di comportamento q=2,75 per la DC2+, si vuolo dimostrare che tale valore risulta sufficientemente conservativo.

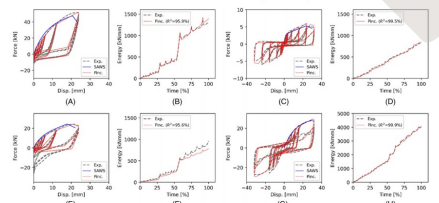
DETERMINAZIONE DEL FATTORE DI STRUTTURA PER LA CLASSE DC2+

1) Definizione degli archetipi strutturali e delle azioni di progetto

Numero di piani:	Da 1 a 4
Archetipi: ([Lunghezza parete di taglio 1, Lungh. parete di taglio n]	[4],[6],[4,4],[6,6],[4,6],[3,6,6],[4,5,6],[4,5,5,6]
lunghezza di influenza delle pareti: (per determinare i carichi verticali)	1m, 5m
lunghezza di influenza delle pareti: (per determinare la Massa sismica)	5m
Categoria sottosuolo: (Categoria topografica T1)	B, C
Profilo di carico: 1º modo	1
Numero analisi	128

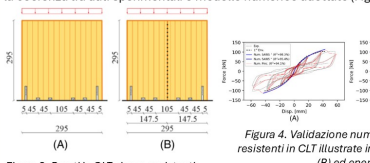
Scelta e calibrazione/validazione numerica delle connessioni (anti-scorrimento/ ribaltamento e giunti verticali tra pannelli)

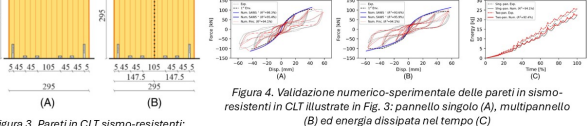
connessioni anti-ribaltamento e anti-scorrimento sono state definite tramite pro Le comiessioni aintrinatantento e aintresconimento sono state denine dannite prove sperimentar () e calibrate numericamente in OpenSee. I parametri sono stati ottenuti mediante fitting si ul ciclo isterettio di un test di riferimento. Nei giunti verticali, resistenza e rigidezza del singolo connettore sono scalate in base al numero di viti. I risuttati (Figura 2) mostrano un'elevate corrispondenza tra modelli numerici e prove sperimentali, sia in termini di curva di carico sia di energia dissipata.



(E) (F) (G) (H) Figura 2. Calibrazione numerica: "hold-down" ciclo isteretico (A) ed energia dissipata (B); "singola vite per giunto tra pannelli adiacenti a mezzo-legno" ciclo isteretico (C) ed energia dissipata (D); "angolari a trazione" ciclo isteretico (E) ed energia dissipata (F); "angolari a taglio" ciclo isteretico (G) ed energia dissipata (H), [3]

La validazione, estesa anche a pareti singole (Figura 3) con prove monotone e cicliche [4], ha confermato la coerenza tra dati sperimentali e modello numerico adottato (Figura 4).





3) Progettazione degli archetipi del punto 1) con fattore di comportamento q pari a 2,75 Gli archetipi sono progettati in classe di duttilità DC2+ secondo prEN1998-1-2 e prEN1995-1-1, con fattore di struttura q=2,75. La struttura sismo-resistente è costituita da pannelli massicci a 5 strati (spessore totale 120 mm, legno C24). Il carico verticale è stimato con il metodo delle aree tributarie: 18 e 3,6 kN/m (6 e 1,2 kN/m all'uttimo livello) rispettivamente per configurazioni con (W) e senza (WO) carico verticale significativo. In entrambi i casi, la massa sismica è definita su una lunghezza di influenza di 5.

Realizzazione di modelli agli elementi finiti degli archetipi strutturali La valutazione del fattore di comportamento è stata condotta attraverso analisi numeriche condotte su modelli piani (3 gradi di liberà per nodo), Figura 5, utilizzando la piattaforma di calcolo OpenSees [5].

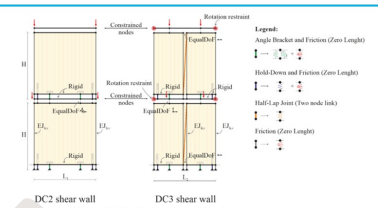


Figura 5. Strategia di modellazione

cuzione di analisi statiche non-lineari (NLS) per la valutazione del fattore di comportamento e i relativi contributi q e q

Sono state eseguite analisi statiche non-lineari per il calcolo dei fattori di struttura $q_{\rm D}$ e $q_{\rm R}$ (assumendo $q_{\rm S}$ =1,5=cost); inoltre, gli archetipi sono stati analizzati con (W) e senza (W/O) apprezzabili carichi verticali. La metodologia utilizzata per il calcolo delle componenti $q_{\rm D}$ e $q_{\rm R}$ del fattore di struttura è riportata in



6) Risultati preliminari delle analisi statiche non-lineari



Figura 7. Danno progressivo delle connessioni, DC2+ e DC3, allo stato limite di salvaguardia della vita (Danno Significativo, SD) e stato limite di collasso (Quasi-collasso, NC)

In DC2+ la plasticizzazione avviene nei giunti verticali tra pannelli (Figura 7), ma i carichi verticali ne riduccno il contributo dissipativo. Il confronto tra analisi non-lineari di DC2, DC3 [3] e archetipi in DC2+ conferma i risultati preliminari, validando le attese sia a livello fenomenologico che numerico. I valori del fattore di comportamento sono riportati nelle Tabelle 2 e 3.

Pareti scariche							Pareti cariche						
	DC2		D	DC2+ I		DC3		DC2		DC2+		DC3	
	μ	CoV	μ	CoV	μ	CoV		μ	CoV	μ	CoV	μ	CoV
q_R	1,46	0,97%	1,66	3,59%	1,73	4,31%	q_R	1,38	3,27%	1,50	7,02%	1,48	5,80%
q_D	1,17	2,55%	1,39	3,15%	1,37	2,92%	qn	1,22	5,95%	1,36	6,02%	1,42	4,15%
q	2,57	2,67%	3,47	6,45%	3,57	5,54%	q	2,52	6,23%	3,06	12,95%	3,18	8,23%
Tahella	2 Confr	onto dei i	isultati	ner naret	iscarici	ne (W/O)	Tabel	la 3 Con	fronto de	i risultat	i ner nare	ti carici	he (W)

I risultati mostrano una duttilità inferiore rispetto alla DC3, legata a un meccanismo prevalente di scorrimento. Il valore di q risulta superiore a 2,75, ma si prevede una riduzione tramite analisi di sensitività, variando la duttilità delle connessioni in accordo all'Eurocodice 8. Questo approccio rafforza l'applicabilità del metodo DC2+ e fornisce indicazioni utili per l'aggiornamento normativo

CAPITOLO 13 DEL NUOVO EC8 - PARTE 1-2

A seguito della finalizzazione della nuova A seguito della finalizzazione della nuova versione dell'Eurocodice 5 - Parte 1-1, l'aggiornamento di tutti i riferimenti nel Capitolo 13 ai paragrafi dell'Eurocodice 5, oltre ad una revisione generale dello stesso Capitolo 13 per la correzione di errori materiali.



BACKGROUND DOCUMENT AL CAPITOLO 13

seguito dell'implementazione

A seguito dell'implementazione dei vari commenti espressi dai comitati normatori nazionali nella fase di inchiesta informale, sono state introdotte svariate modifiche ed integrazioni nel Capitolo 13, che richiedono inevitabilmente un aggiornamento anche del Background Document,



AGGIORNAMENTO NORMATIVO